

для состояний с  $l \neq 0$  смещение оказывается существенно меньше. Относит. величина радиц. сдвига  $|\delta E_{nl}/E_{nl}| \sim \alpha(Z\alpha)^2 \ln(1/Z\alpha)$  составляет  $10^{-6}$ .

Приведённая оценка соответствует осн. вкладу в Л. с., возникающему от собственно энергетич. Фейнмана диаграммы, представленной на рис. 1, а. Сплошная жирная линия изображает электрон в поле ядра, пунктирная — процесс виртуального испускания и поглощения фотона связанным электроном. Эта диаграмма содержит, в частности, вклад от аномана, определяющие вклад малого магнитного момента ядра.



Рис. 1. Диаграммы Фейнмана, определяющие вклад малого магнитного момента ядра.

Другим радиационным эффектом является поляризация вакуума вокруг точечного заряда ядра из-за виртуального рожденения и аннигиляции электрон-позитронных пар (рис. 1, б).

Поляризация вакуума искажает кулоновский потенциал, увеличивая эффективный заряд ядра на расстояниях порядка комптоновской длины волны электрона  $\hbar/mc$ , что приводит к отрицат. поправке к энергии уровня. В водородоподобных атомах радиус боровской орбиты электрона  $r_0 = \hbar^2/Zme^2$  значительно больше расстояния  $\hbar/mc$ . Поэтому указанная поправка оказывается малой по сравнению с вкладом диаграммы 1, а, так что результатирующий сдвиг уровня положителен. Напротив, в мюонных атомах Л. с. определяется в основном эффектом поляризации электрон-позитронного вакуума, поскольку из-за большой массы мюона радиус его боровской орбиты приближительно в 200 раз меньше  $r_0$ . В результате, напр., в мюонном атоме водорода уровень  $2S_{1/2}$  лежит ниже уровня  $2P_{1/2}$ .

В низшем порядке по  $\alpha$  и  $Z\alpha$  Л. с. атомных уровней равны:

$$\delta E_{nl} = \frac{4mc^2}{3\pi n^3} \alpha (Z\alpha)^4 \left[ \ln(Z\alpha)^{-2} + L_{nl} + \frac{19}{30} \right],$$

$$\delta E_{n'l'} = \frac{4mc^2}{3\pi n'^3} \alpha (Z\alpha)^4 \left[ L_{nl} + \frac{3}{8} \frac{l(j+1)-l(l+1)-\frac{3}{4}}{l(l+1)(2l+1)} \right], l \neq 0.$$

Логарифм Бете  $L_{nl}$  не зависит от  $Z$  и находится численно. Напр., для состояний с  $n=2$   $L_{20}=-2,812$ ,  $L_{21}=0,030$ . Для разности энергий  $2S_{1/2}$ - и  $2P_{1/2}$ -состояний атома водорода получаем  $\delta_H = -E(2S_{1/2}) - E(2P_{1/2}) = 0,41mc^2\alpha^5$ , что соответствует частоте 1050 МГц.

Последоват. метод вычисления поправок к уровням энергии основан на использовании точной релятивистской кулоновской ф-ции Грина для электронных линий в диаграммах типа 1, а и 1, б. Однако из-за отсутствия замкнутого выражения для ф-ции Грина такой подход связан с серёзными вычисл. трудностями и полностью не реализован.

В совр. теории Л. с. учтены ведущие поправки высших порядков по константе связи  $Z\alpha$ , поправки второго порядка по  $\alpha$  в собств. энергии, аномальному магн. моменте и поляризации вакуума, а также эффекты, связанные с конечностью массы и радиуса протона.

В табл. 1 приведены наиб. известные теоретич. значения Л. с. в атоме водорода, полученные Г. В. Эриксоном [2] и П. И. Мором [3]. Осн. источником расхождения их результатов, к-рое составляет 0,045 МГц и выходит за пределы погрешностей, является разный метод учёта эффектов связности высших порядков в однофотонной собственно энергетич. диаграмме, однако до конца причина расхождения не выяснена.

Первое точное измерение  $\delta_H$  было выполнено С. Трибассером, Э. С. Дейхофом и У. Э. Лэмбом в 1950—53 радиоспектроскопич. методом [4], аналогичным первоначальному методу Лэмба—Ризерфорда. Значит,

прогресс в повышении точности измерения  $\delta_H$  был достигнут при использовании пучков быстрых атомов водорода (с энергией  $\sim 20$ —100 кэВ) [5, 6], но и в этом случае точность не превышала  $\sim 0,01$  МГц. Это объясняется в первую очередь тем, что во всех рассмотренных методах процедура измерения состояла в получении резонансной кривой перехода  $2S_{1/2} - 2P_{1/2}$ .

В работах [7, 8] измерение  $\delta_H$  было выполнено при помощи двойного атомного интерферометра. Процедура измерения состояла в определении выхода  $2P_{1/2}$

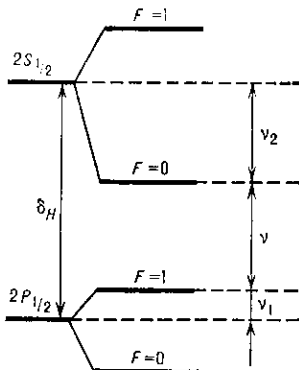


Рис. 2. Сверхтонкое расщепление  $2S_{1/2}$ - и  $2P_{1/2}$ -уровней атома водорода (масштаб не выдержан).

атомов в зависимости от приращения расстояния ( $L$ ) между входной и выходной системами интерферометра при пост. значениях напряжённостей локализованных в них электрич. полей. Как и в др. экспериментах с быстрыми атомами, измерялся не сам Л. с., а частота  $v$  перехода  $(2S_{1/2}, F=0) - (2P_{1/2}, F=1)$  между компонентами сверхтонкой структуры  $2S_{1/2}$ - и  $2P_{1/2}$ -уровней (рис. 2), где  $F$  — квантовое число суммарного момента ядра и электрона. (Компоненты  $2S_{1/2}$ -состояния с  $F=1$  предварительно удалялись из пучка с помощью радиочастотных резонансных полей.) Т. о.,  $\delta_H = v - v_1 + v_2$ ;  $v_1$  и  $v_2$ , связанные со сверхтонким расщеплением уровней  $2S_{1/2}$  и  $2P_{1/2}$ , приводят к добавке  $v_1 + v_2 = 147,958$  МГц.

Интерференц. эффект описывается ф-цией

$$\cos \left\{ \frac{2\pi v}{v} \left( 1 - \frac{v^2}{c^2} \right)^{1/2} \cdot L \right\},$$

где  $v$  — скорость  $2S_{1/2}$ -атомов. Скорость  $v$  измерялась по распадной кривой атома в  $2P$ -состоянии:  $\exp[-\gamma(L/v) \times (1 - v^2/c^2)^{1/2}]$  и выражалась через константу распада  $\gamma$ , к-рая была рассчитана с точностью  $\sim 10^{-6}$ . Величина  $v$  определялась путём подгонки теоретич. кривой к эксперим. точкам. Подгонка производилась в широком диапазоне изменения фазы косинуса, к-рый совершал пять осцилляций. В этом заключалось принципиальное отличие метода атомного интерферометра от др. методов (где обрабатывалась резонансная линия с одним максимумом), позволявшее заметно повысить точность определения  $v$  (табл. 1).

Табл. 1. — Теоретические и экспериментальные значения лэмбовского сдвига в атоме водорода (в МГц)

Теория	Эксперимент
1057,9100 (100) [2]	1057,8820 (200) [5]
1057,8640 (140) [3]	1057,8450 (90) [6]
	1057,8514 (19) [7,8]

Интерес к прецизионному расчёту и измерению Л. с. в атоме водорода связан не только с неустранённым пока расхождением между наиб. точными известными теоретич. значениями  $\delta_H$ , а также между теорией и экспериментом, но и с возможностью извлечения информации о структуре и свойствах поправок, не связанных непосредственно с КЭД. В отличие от аномальному магн. момента, Л. с. характеризует свойства связанного с ядром электрона, т. е. учитывает не только эффекты КЭД, но и эффекты, обусловленные